

# ГЕНЕРАЦИЯ В ИНЕРТНЫХ ГАЗАХ ПРИ НАКАЧКЕ ПОПЕРЕЧНЫМ РАЗРЯДОМ

М.И. Ломаев, В.Ф. Тарасенко

1. В настоящее время большое внимание уделяется исследованию плазменных лазеров на атомарных переходах неона [1-5] и гелия [6]. Более высокие энергетические параметры таких лазеров достигаются при накачке смесей  $\text{He}-\text{Ne}-\text{Ar}(\text{Kr})$  электронным пучком [2, 3], что определяется оптимальной реализацией механизма инверсии плазменного лазера [7]. При накачке самостоятельным разрядом из-за нагрева электронов электрическим полем, уменьшения рекомбинационного потока на верхний лазерный уровень, а также вследствие заселения нижнего лазерного уровня, генерация имеет место, как правило, в послесвечении и при существенно меньшей эффективности [4-6].

В данной работе предложены и впервые реализованы новые активные среды для генерации на атомарных переходах инертных газов при возбуждении самостоятельным разрядом, в которых добавки электроотрицательного газа одновременно увеличивают эффективность накачки и обеспечивают очистку нижнего лазерного уровня.

Отметим, что добавки  $\text{SF}_6$  применялись для увеличения мощности излучения на  $2^+$  и  $1^+$  системах азота [8, 9], а возможность очистки нижнего лазерного уровня плазменного лазера в химических реакциях теоретически рассматривалась в [7].

2. Эксперименты проводились на экспликсных лазерах ЭЛАН [10] и ДИЛАН, генератор накачки которых был собран по двухконтурной схеме. Длительность импульса накачки составляла 40-60 и 20-30 нс соответственно. Временные и энергетические характеристики лазерного излучения определялись с помощью фотодиода ФК-2, сигнал с которого подавался на осциллограф С8-14. Одновременно с генерацией через боковое кварцевое окно регистрировалось с помощью монохроматора МДР-23 и фотоумножителей ФЭУ-100 или ФЭУ-62 спонтанное излучение. Активная длина лазера ДИЛАН составляла 20 см.

3. Проведя предварительный анализ известных активных сред, для экспериментальной проверки были выбраны смеси  $\text{NF}_3$  с  $\text{He}$ ,  $\text{Ne}$  и  $\text{Ar}$ . На рис. 1, а приведены осциллограммы импульсов генерации в смеси  $\text{He}-\text{NF}_3$ , переход  $3s-2p$ ,  $\lambda=706.5$  нм (1);  $\text{Ne}-\text{NF}_3$ , переход  $3p-3s$ ,  $\lambda=585.3$  нм (2);  $\text{Ar}-\text{NF}_3$ , переход  $4p-4s$ ,  $\lambda=750.3$  (3). Максимумы мощности генерации и спонтанного излучения наблюдаются во время накачки и практически совпадают во времени, а их положение относительно начала накачки зависит от сорта инертного газа. Минимальные задержки регистрировались в смесях с аргоном, генерация совпадала с первым полупериодом тока разряда, а максимальные –

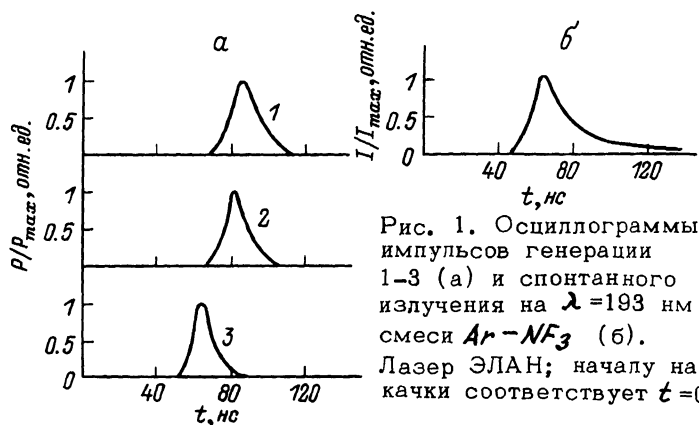
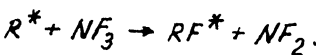


Рис. 1. Осциллограммы импульсов генерации 1-3 (а) и спонтанного излучения на  $\lambda = 193$  нм в смеси  $Ar - NF_3$  (б). Лазер ЭЛАН; началу на качки соответствует  $t = 0$ .

в смесях  $He - NF_3$ . Наибольшие мощности излучения реализуются в смесях с весьма высоким содержанием  $NF_3$  (15–30%). В смеси  $Ar - NF_3$  одновременно с излучением на  $\lambda = 750.3$  нм наблюдалось мощное спонтанное излучение в области 193 нм, которое можно отнести к излучению молекул  $ArF^*$  (рис. 1, б). На рис. 2, а показаны зависимости мощности излучения на  $\lambda = 706.5$  (1), 585.3 (2) и 750.3 нм (3) от давления смеси. Максимальные мощности излучения достигаются при давлении смеси  $\sim 100$  Торр. Отметим, что генерация на  $\lambda = 540.1$  нм наблюдалась только в чистом неоне [5]. При добавках  $NF_3$  к гелию, неону или аргону сопротивление разрядного промежутка во время накачки возрастало, также повышалось пробойное напряжение. Добавки азота к смеси  $He - NF_3$  не приводили к срыву генерации на  $\lambda = 706.5$  нм гелия (исследовалась генерация при добавках азота 12 и 20 Торр), а также существенно не влияли на мощность генерации на  $\lambda = 585.3$  нм неона (рис. 2, б).

4. Как следует из полученных результатов, генерация реализована на переходах трех инертных газов во время импульса накачки в смесях, содержащих значительные количества электроотрицательного газа  $NF_3$ . Так как нижний лазерный уровень во всех трех инертных газах является резонансным и эффективно заселяется во время накачки самостоятельным разрядом, то для получения генерации необходима его быстрая очистка. Очистка может осуществляться  $NF_3$  по двум каналам. Во-первых, согласно традиционному механизму пенниговского плазменного лазера, в результате пенниговской ионизации [1, 7]. Однако данный механизм не подходит для смеси  $Ar - NF_3$ , т. к. потенциал ионизации  $NF_3$  (13.2 эВ) больше энергии возбуждения нижнего лазерного уровня аргона (11.8 эВ). Во-вторых, за счет гарпунной реакции



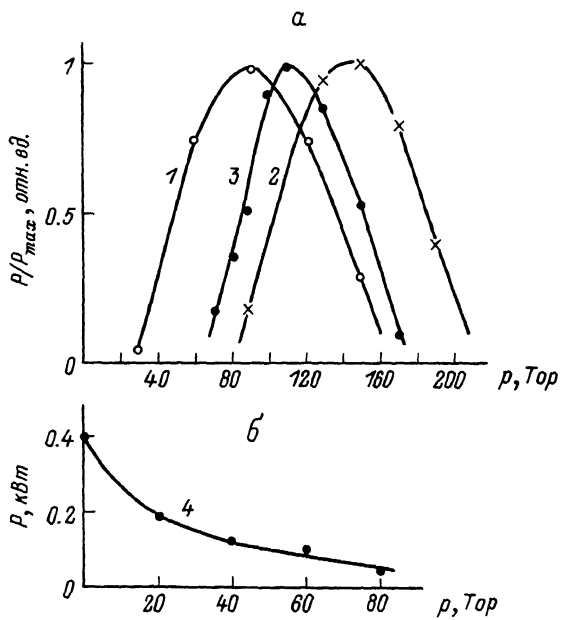


Рис. 2. Зависимость мощности излучения от полного давления смеси (а) и от давления добавок азота к смеси  $Ne:NF_3 = 45$  Тор:30 Тор (б). 1 - смесь  $Ne:NF_3 = 5:1$ , лазер ЭЛАН; 2 - смесь  $Ne:NF_3 = 2.5:1$ , лазер ДИЛАН; 3 - смесь  $Ar:NF_3 = 2.5:1$ , лазер ЭЛАН; 4 -  $\lambda = 585.3$  нм, лазер ДИЛАН.

Наличие данного канала очистки доказывается получением генерации в смеси  $Ar-NF_3$ , регистрацией в этой смеси одновременно с генерацией на  $\lambda = 750.3$  нм мощного излучения молекул  $ArF^*$  и высокой скоростью гарпунных реакций, константа которых составляет  $\sim 10^{-9}$  см<sup>3</sup>.с<sup>-1</sup> [11].

Очень важным преимуществом применения добавок электроотрицательных газов при накачке самостоятельным разрядом активных сред плазменных лазеров является одновременное повышение эффективности накачки. На лазере ДИЛАН была проведена оптимизация условий генерации на  $\lambda = 585.3$  нм в смеси  $Ne-H_2$  и  $Ne-NF_3$ . Во втором случае мощность излучения была на порядок больше и составила 0.4 кВт. Увеличение мощности излучения достигается за счет лучшего согласования генератора накачки и разрядной плазмы, а также за счет увеличения в смесях с электроотрицательным газом параметра  $E/p$ , соответственно электронной температуры во время накачки. Это должно приводить к более эффективному прямому возбуждению верхнего лазерного уровня. Значительный вклад возбуждения в заселение верхнего лазерного уровня доказывают экспе-

рименты с добавками азота, а также малые времена запаздывания импульса генерации относительно накачки в смесях с  $NF_3$ .

Таким образом, нами предложено использовать смеси инертных газов с галогенидами для увеличения мощности излучения на переходах инертных газов, в смесях  $He$  ( $Ne$ ,  $Ar$ ) -  $NF_3$  получена генерация на  $\lambda = 706.5$ ,  $585.3$  и  $750.3$  нм.

## Л и т е р а т у р а

- [1] Б у н к и н Ф.В., Д е р ж и е в В.И., М е с я ц Г.А., М у р а в ъ е в И.И., С к а к у н В.С., Т а р а с е н к о В.Ф., Ф е д е н е в А.В., Я к о в л е н к о С.И., Я н ч а р и н а А.М. - Изв. АН СССР, сер. физ., 1986, т. 50, с. 1064.
- [2] Б а с о в Н.Г., Б а р а н о в В.В., Д а н и п ы-ч е в В.А., Д у д и н А.Ю., З а я р н ы й Д.А., У с-ти н о в с к и й Н.Н., Х о л и н И.В., Ч у гу-нов А.Ю. - Квантовая электроника, 1985, т. 12, с. 1521.
- [3] В и н т и з е н к о Л.Г., Г у ш е н е ц В.И., К о-в а л ь Н.Н., М е с я ц Г.А., С к а к у н В.С., Т а-рас ен к о В.Ф., Ф е д е н е в А.В., Ш ани н П.М. - Докл. АН СССР, 1986, т. 288, с. 609.
- [4] Б у н к и н Ф.В., Д е р ж и е в В.И., Л а т у ш Е.Л., М у р а в ъ е в И.И., С э м М.Ф., Ч е б о т а р е в Г.Д., Я к о в л е н к о С.И., Я н ч а р и н а А.М. - Квантова-я электроника, 1986, т. 13, с. 2531.
- [5] Л о м а е в М.И., П а н ч ен к о А.Н., Т а р а с ен-к о В.Ф. - Квантовая электроника, 1987, т. 14, с. 993.
- [6] S c h m i e d e r D., S a l a m o n T.I. - Opt. Commun., 1985, v. 55, p. 49.
- [7] Г у д з ен к о Л.И., Я к о в л ен к о С.И. Плазменные лазеры, М.: Атомиздат, 1976.
- [8] W i l f e t t C.S., L i t y n s k y D.M. - Appl. Phys. Lett., 1975, v. 26, p. 118.
- [9] Л ос е в В.Ф., Т а р а с ен к о В.Ф. - ЖТФ, 1976, т. 46, с. 2202.
- [10] Т а р а с ен к о В.Ф., В е р х о в с к и й В.С., Ф е-до р о в А.И., Т ель м и н о в Е.Н. - Квантовая электроника, 1980, т. 7, с. 2039.
- [11] Р о у д з е Ч. Эксимерные лазеры, М.: Мир, 1981.

Институт сильноточной  
электроники СО АН СССР,  
Томск

Поступило в Редакцию  
22 декабря 1987 г.